

УДК 541.49:547.598:548.736

СТРОЕНИЕ СОЕДИНЕНИЙ $[Pd_2(H_2L^1)Cl_4]$ И $[Pd_2(H_2L^1)Cl_4] \cdot 0,5CH_2Cl_2$
С ХИРАЛЬНЫМ БИС- α -СУЛЬФАНИЛОКСИМОМ —
ПРОИЗВОДНЫМ ПРИРОДНОГО МОНОТЕРПЕНОИДА (+)-3-КАРЕНА (H_2L^1)

Т.Е. Кокина^{1,2}, Л.А. Глинская¹, Н.Б. Горшков^{2,3}, Н.В. Куратьева^{1,2}, И.В. Корольков^{1,2},
А.В. Ткачев^{2,3}, С.В. Ларионов^{1,2}

¹Институт неорганической химии им. А.В. Николаева СО РАН, Новосибирск, Россия
E-mail: kokina@niic.nsc.ru

²Новосибирский национальный исследовательский государственный университет, Россия

³Новосибирский институт органической химии им. Н.Н. Ворожцова СО РАН, Россия

Статья поступила 26 мая 2014 г.

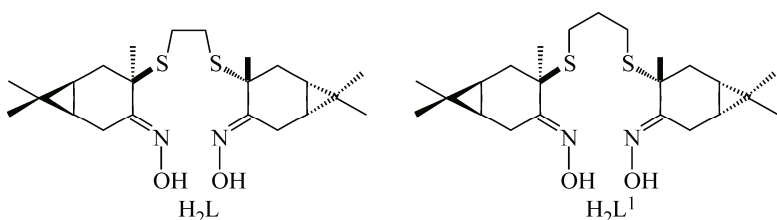
Синтезирован комплекс $[Pd_2(H_2L^1)Cl_4]$ (I) (H_2L^1 — хиральный бис- α -сульфанилоксим — производное природного монотерпеноида (+)-3-карена). Выращены монокристаллы I и сольваты $[Pd_2(H_2L^1)Cl_4] \cdot 0,5CH_2Cl_2$ (II). По данным РСА, кристаллическая структура I состоит из ацентричных молекул двухъядерного комплекса $[Pd_2(H_2L^1)Cl_4]$. Структура сольвата II состоит из молекул двухъядерного комплекса I и молекул CH_2Cl_2 . Координационные узлы $PdCl_2NS$ — искаженные квадраты (трапеции). В структурах I и II фрагменты $PdCl_2$ находятся в трансoidном положении. В I плоскости Cl_2NS двух координационных узлов практически параллельны (угол между плоскостями составляет $7,7(1)^\circ$). В сольвате II аналогичный угол равен $22,0(1)^\circ$.

DOI: 10.15372/JSC20150514

Ключевые слова: комплекс, бис- α -сульфанилоксим, Pd, кристаллическая и молекулярная структура.

В настоящее время большой интерес вызывают хиральные лиганда на основе природных терпенов, широко распространенных в растительном мире и обладающих биологической активностью, а также синтез, исследование строения и свойств координационных соединений металлов с этими лигандами [1—5]. Одним из перспективных типов таких лигандов являются хиральные диоксими [3—5]. Известно, что ахиральные диоксими и комплексы на их основе хорошо изучены и находят широкое практическое применение [6—9]. Ранее нами синтезированы и изучены двухъядерные комплексы $PdCl_2$ с оптически активными этилен- и пропиленди-сульфанилдиоксимиами — производными природного монотерпена (-)- α -пинена [10]. Получен и исследован методом РСА сольват $[Pd_2(H_2L)Cl_4] \cdot 3CDCl_3$, содержащий этиленди-сульфанилдиоксим H_2L — производное (+)-3-карена [11]. В двухъядерном комплексе молекула H_2L является тетрадентатным хелатно-мостиковым лигандом, координационные узлы $PdCl_2NS$ имеют форму искаженного квадрата. Следовательно, переход от производных (-)- α -пинена к производному (+)-3-карена не привел к изменению состава комплексов Pd(II). Представлялось интересным изучить влияние увеличения длины углеводородного мостика, соединяющего два атома S в дисульфанилдиоксимах (+)-3-карена, на состав и строение комплексов.

Цель данной работы — синтез и исследование строения комплекса Pd(II) с пропиленди-сульфанилдиоксимом (+)-3-карена (H_2L^1).



ЭКСПЕРИМЕНТАЛЬНАЯ ЧАСТЬ

Для синтеза использовали $PdCl_2$ квалификации Ч; $EtOH$ — ректификат; конц. HCl , CH_2Cl_2 ХЧ, $i\text{-PrOH}$ ОсЧ; H_2L^1 , полученный по методике [13].

Синтез $[Pd_2(H_2L^1)Cl_4]$ (I). К раствору 0,044 г (0,1 ммоля) H_2L^1 в 4 мл $i\text{-PrOH}$ добавили при перемешивании теплый (~50—60 °C) раствор 0,036 г (0,2 ммоля) $PdCl_2$ в смеси 5 мл $i\text{-PrOH}$ и 0,5 мл конц. HCl . В результате смешивания растворов образуется желтый осадок. Растворитель испаряли до объема ~3—4 мл. Реакционную смесь охлаждали до ~3 °C. Осадок отфильтровывали с отсасыванием, промывали охлажденным $i\text{-PrOH}$, высушивали в вакуумном экскаторе. Выход 0,030 г (38 %). Найдено, %: C 34,6, H 4,8, N 3,5, S 8,1. Для $C_{23}H_{38}Cl_4N_2O_2Pd_2S_2$ вычислено, %: C 34,8, H 4,8, N 3,5, S 8,1.

Получение монокристаллов комплекса I и сольваты $[Pd_2(H_2L^1)Cl_4] \cdot 0,5CH_2Cl_2$ (II). К раствору 0,044 г (0,1 ммоля) H_2L^1 в 4 мл смеси $EtOH - CH_2Cl_2$ добавляли при перемешивании теплый (~50—60 °C) раствор 0,036 г (0,2 ммоля) $PdCl_2$ в смеси 4 мл $EtOH$ и 0,5 мл конц. HCl . В результате смешивания растворов образуется желтый осадок. Растворитель испаряли до объема ~1 мл. Осадок отфильтровывали с отсасыванием, промывали охлажденным $i\text{-PrOH}$, высушивали в вакуумном экскаторе. При выдерживании раствора полученного осадка в смеси $i\text{-PrOH} - CH_2Cl_2$ при $t \sim 3$ °C образуются оранжевые кристаллы двух видов: крупные хорошо ограненные (I) и более мелкие удлиненные призматической формы (II). Кристаллы доставали из раствора и заливали вазелиновым маслом.

Микроанализы на содержание C, H, N, S выполнены на анализаторе Euro EA 3000.

Рентгенофазовый анализ (РФА) поликристаллов проводили на дифрактометре Shimadzu XRD-7000 (CuK_α -излучение, Ni-фильтр, диапазон 5—60° 2θ, шаг 0,03° 2θ, накопление 1 с в точке). Образцы для исследования готовили следующим образом: поликристаллы истирали в агатовой ступке в присутствии гептана; полученную суспензию наносили на полированную сторону стандартной кварцевой кюветы; после высыхания гептана образец представлял собой тонкий ровный слой (толщина ~100 мкм). Индицирование дифрактограмм и количественный фазовый анализ проводили с использованием монокристальных данных.

Экспериментальные массивы рентгеновских отражений получены на автодифрактометре X8 APEX по стандартной методике при температуре 150 К. Структуры соединений I и II расшифрованы прямым методом и уточнены полноматричным МНК в анизотропном для неводородных атомов приближении по комплексу программ SHELXL-97 [14]. При уточнении структуры соединения II были обнаружены две группы пиков молекул CH_2Cl_2 с занятостью позиций, равной 0,25. В результате уточнения эти пики были идентифицированы как атомы одной молекулы CH_2Cl_2 , приходящейся на две молекулы комплекса. Позиции атомов H при атомах C локализованы геометрически и включены в уточнение в двух структурах в модели "наездника".

Основные кристаллографические характеристики для I и II приведены в табл. 1. Значения основных межатомных расстояний и валентных углов приведены в табл. 2 и 3. Полные таблицы координат атомов, длин связей и валентных углов депонированы в Кембриджской базе структурных данных (CCDC № 996449 (II), 996450(I) deposit@ccdc.cam.ac.uk, <http://www.ccdc.cam.ac.uk>) или могут быть получены у авторов.

Таблица 1

Кристаллографические характеристики, детали эксперимента и уточнения структур соединений I и II

Соединение	I	II
Эмпирическая формула	C ₂₃ H ₃₈ Cl ₄ N ₂ O ₂ Pd ₂ S ₂	C _{23,5} H ₃₉ Cl ₅ N ₂ O ₂ Pd ₂ S ₂
<i>M</i>	793,27	835,74
Сингония	Моноклинная	Моноклинная
Пространственная группа	<i>P2</i> ₁	<i>P2</i> ₁
<i>a</i> , <i>b</i> , <i>c</i> , Å; β, град.	8,6209(1), 15,5811(3), 11,8506(2); 107,21(1)	7,4459(1), 15,4059(2), 14,6681(2); 90,006(1)
<i>V</i> , Å ³	1520,54(4)	1682,59(4)
<i>Z</i> ; ρ(выч.), г/см ³	2; 1,733	2; 1,650
μ, мм ⁻¹	1,695	1,613
Размеры кристалла, мм	0,24×0,22×0,03	0,2×0,08×0,04
Область сканирования, θ, град.	2,22—27,51	2,64—27,51
Число измер. / независ. отражений (<i>R</i> _{int})	14047 / 6925 (0,0346)	15319 / 7383 (0,0316)
Число отражений с <i>I</i> > 2σ(<i>I</i>)	5928	6838
Число уточняемых параметров	327	374
GOOF по <i>F</i> ²	1,002	1,038
<i>R</i> -фактор (<i>I</i> > 2σ(<i>I</i>))	<i>R</i> ₁ = 0,0312, <i>wR</i> ₂ = 0,0576	<i>R</i> ₁ = 0,0325, <i>wR</i> ₂ = 0,0966
<i>R</i> -фактор (по всем <i>I</i> _{hkl})	<i>R</i> ₁ = 0,0434, <i>wR</i> ₂ = 0,0640	<i>R</i> ₁ = 0,0363, <i>wR</i> ₂ = 0,0988
Параметр абсолютной структуры	0,01(2)	0,03(3)
Остаточная электронная плотность (max / min), е/Å ³	0,438 / -0,313	0,703 / -0,455

Таблица 2

Основные межатомные расстояния *d* (Å) и валентные углы ω (град.) в структуре комплекса I

Связь	<i>d</i>	Связь	<i>d</i>	Связь	<i>d</i>
Pd(1)—N(1)	2,022(4)	Pd(2)—N(2)	2,004(3)	N(1)—C(41)	1,279(6)
Pd(1)—S(1)	2,259(1)	Pd(2)—S(2)	2,271(1)	N(1)—O(1)	1,362(4)
Pd(1)—Cl(1)	2,279(1)	Pd(2)—Cl(4)	2,280(1)	C(1)—C(2)	1,516(5)
Pd(1)—Cl(2)	2,319(1)	Pd(2)—Cl(3)	2,316(1)	N(2)—C(42)	1,275(6)
S(1)—C(1)	1,820(3)	S(2)—C(3)	1,830(3)	N(2)—O(2)	1,380(4)
S(1)—C(31)	1,856(4)	S(2)—C(32)	1,853(4)	C(2)—C(3)	1,530(5)
Угол	ω	Угол	ω	Угол	ω
N(1)—Pd(1)—S(1)	83,8(1)	N(2)—Pd(2)—S(2)	82,7(1)	C(41)—N(1)—O(1)	116,5(4)
N(1)—Pd(1)—Cl(1)	175,6(1)	N(2)—Pd(2)—Cl(4)	176,0(1)	C(41)—N(1)—Pd(1)	123,1(3)
S(1)—Pd(1)—Cl(1)	92,08(4)	S(2)—Pd(2)—Cl(4)	93,84(4)	O(1)—N(1)—Pd(1)	120,2(3)
N(1)—Pd(1)—Cl(2)	90,7(1)	N(2)—Pd(2)—Cl(3)	90,5(1)	C(2)—C(1)—S(1)	111,2(3)
S(1)—Pd(1)—Cl(2)	174,04(5)	S(2)—Pd(2)—Cl(3)	172,69(5)	C(1)—C(2)—C(3)	115,8(3)
Cl(1)—Pd(1)—Cl(2)	93,49(6)	Cl(4)—Pd(2)—Cl(3)	93,04(6)	C(42)—N(2)—O(2)	116,4(4)
C(1)—S(1)—C(31)	103,7(2)	C(3)—S(2)—C(32)	102,2(2)	C(42)—N(2)—Pd(2)	123,3(3)
C(1)—S(1)—Pd(1)	107,7(1)	C(3)—S(2)—Pd(2)	105,4(1)	O(2)—N(2)—Pd(2)	120,1(3)
C(31)—S(1)—Pd(1)	97,7(1)	C(32)—S(2)—Pd(2)	95,9(1)	C(2)—C(3)—S(2)	110,5(3)

Примечание. Длины связей С—С находятся в интервале 1,491(6)—1,550(5) Å.

Таблица 3

Основные межатомные расстояния d (\AA) и валентные углы ω (град.) в структуре комплекса **II**

Связь	d	Связь	d	Связь	d
Угол	ω	Угол	ω	Угол	ω
Pd(1)—N(1)	2,035(4)	Pd(2)—N(2)	2,025(4)	C(1)—C(2)	1,527(7)
Pd(1)—S(1)	2,252(1)	Pd(2)—S(2)	2,250(1)	C(31)—C(101)	1,539(7)
Pd(1)—Cl(2)	2,287(2)	Pd(2)—Cl(4)	2,273(1)	Cl(1S)—C(1S)	1,605(9)
Pd(1)—Cl(1)	2,305(2)	Pd(2)—Cl(3)	2,326(1)	Cl(4S)—C(2S)	1,614(9)
S(1)—C(1)	1,820(4)	S(2)—C(3)	1,812(5)	C(2)—C(3)	1,538(6)
S(1)—C(31)	1,864(4)	S(2)—C(32)	1,861(5)	C(32)—C(102)	1,549(6)
N(1)—C(41)	1,265(6)	N(2)—C(42)	1,269(6)	C(1S)—Cl(2S)	1,617(9)
N(1)—O(1)	1,399(4)	N(2)—O(2)	1,372(5)	Cl(3S)—C(2S)	1,598(9)
<hr/>					
N(1)—Pd(1)—S(1)	82,4(1)	N(2)—Pd(2)—S(2)	84,1(1)	C(31)—S(1)—Pd(1)	96,2(2)
N(1)—Pd(1)—Cl(2)	173,4(1)	N(2)—Pd(2)—Cl(4)	174,0(1)	C(2)—C(1)—S(1)	108,0(3)
S(1)—Pd(1)—Cl(2)	91,02(6)	S(2)—Pd(2)—Cl(4)	91,05(5)	C(1)—C(2)—C(3)	113,9(3)
N(1)—Pd(1)—Cl(1)	92,3(1)	N(2)—Pd(2)—Cl(3)	90,8(1)	Cl(1S)—C(1S)—Cl(2S)	128(1)
S(1)—Pd(1)—Cl(1)	174,00(6)	S(2)—Pd(2)—Cl(3)	173,32(4)	C(32)—S(2)—Pd(2)	97,1(1)
Cl(2)—Pd(1)—Cl(1)	94,37(7)	Cl(4)—Pd(2)—Cl(3)	94,33(5)	C(2)—C(3)—S(2)	110,5(3)
C(1)—S(1)—C(31)	105,2(2)	C(3)—S(2)—C(32)	106,3(2)	Cl(3S)—C(2S)—Cl(4S)	133(1)
C(1)—S(1)—Pd(1)	100,7(2)	C(3)—S(2)—Pd(2)	108,9(2)		

Примечание. Длины связей C—C находятся в интервале 1,461(8)–1,579(7) \AA .

РЕЗУЛЬТАТЫ И ИХ ОБСУЖДЕНИЕ

При взаимодействии PdCl_2 с H_2L^1 в среде $i\text{-PrOH}$ образуется комплекс **I** с мольным соотношением $\text{PdCl}_2:\text{H}_2\text{L}^1 = 2:1$. Следовательно, при увеличении длины углеводородного мостика в лиганде состав нового комплекса Pd(II) не изменился по сравнению с $\text{Pd}_2(\text{H}_2\text{L})\text{Cl}_4$ [11]. Для получения монокристаллов был проведен синтез, аналогичный синтезу комплекса **I**, но в среде $\text{EtOH}—\text{CH}_2\text{Cl}_2$. В результате выделен продукт, который, по данным РФА, содержит две фазы: комплекс **I** и сольват **II** в соотношении 0,6:0,4 соответственно. При растворении этого продукта в смеси $i\text{-PrOH}—\text{CH}_2\text{Cl}_2$ и дальнейшей кристаллизации были выращены монокристаллы соединений **I** и **II**. Методом РФА доказана идентичность монокристаллов **I** и полученной при синтезе поликристаллической фазы этого соединения.

По данным РСА, кристаллическая структура соединения **I** состоит из изолированных ацентрических молекул двухъядерного комплекса $[\text{Pd}_2(\text{H}_2\text{L}^1)\text{Cl}_4]$. Структура соединения **II** построена из молекул двухъядерного комплекса **I** и некоординированных молекул CH_2Cl_2 , причем на две молекулы комплекса **I** приходится одна молекула CH_2Cl_2 . Следует отметить, что в ранее изученной структуре сольвата $[\text{Pd}_2(\text{H}_2\text{L})\text{Cl}_4] \cdot 3\text{CDCl}_3$ (**III**) на одну молекулу комплекса приходятся три молекулы CDCl_3 [11].

Структура молекулы комплекса **I** показана на рис. 1. Комплекс в соединении **II** имеет аналогичную структуру с незначительно отличающимися межатомными расстояниями (см. табл. 2). В молекуле $[\text{Pd}_2(\text{H}_2\text{L}^1)\text{Cl}_4]$ каждый атом Pd координирует по одному атому S и N тетрадентатного хелатно-мостикового лиганда H_2L^1 , а также два атома Cl в *чис*-положении. В результате координации H_2L^1 замыкаются два пятичленных хелатных цикла PdC_2NS . Координационные узлы PdCl_2NS представляют собой искаженные квадраты (трапеции) с интервалом расстояний: N...S 2,834—2,863, 2,827—2,867 \AA , Cl...Cl 3,337—3,346, 3,368—3,373 \AA , S...Cl 3,267—3,325, 3,228—3,238 \AA в **I** и **II** соответственно. Средние отклонения атомов

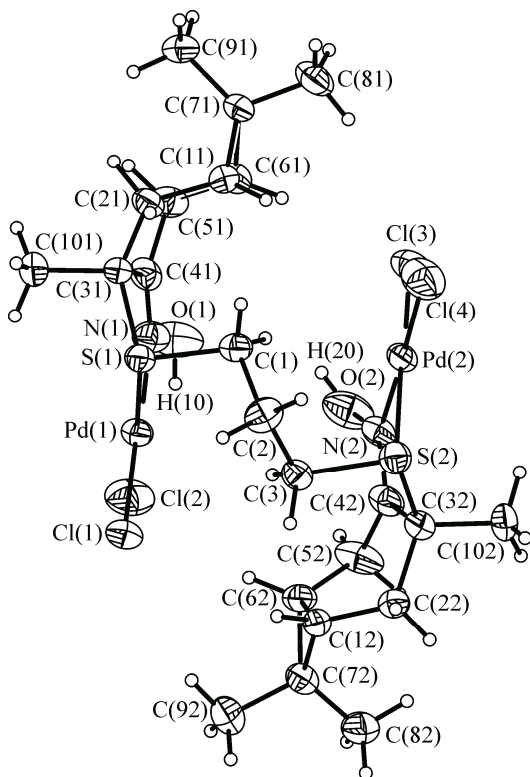


Рис. 1. Строение двухъядерной молекулы $\text{Pd}_2(\text{H}_2\text{L}^1)\text{Cl}_4$ в кристаллической структуре соединения I с обозначениями неводородных атомов

от среднеквадратичных плоскостей узлов PdNSCl_2 равны $0,031(1)$ и $0,038(1)$ Å для I; $0,026(1)$ и $0,063(1)$ Å для II. В структурах I и II фрагменты PdCl_2 находятся в *трансoidном* положении.

Длины связей Pd—N , Pd—Cl , Pd—S и величины валентных углов в I и II близки к найденным в структуре III [11]. Пятичленные хелатные циклы PdC_2NS имеют конформацию *конвертера*: атомы C(31), C(32) отклоняются от плоскостей из четырех других атомов на $0,496(5)$ и $0,601(5)$ Å в I и на $0,646(5)$ и $0,504(5)$ Å в II. Оба шестичленных карбоцикла в I и II имеют конформацию *искаженной ванны*. В I атомы C(21) и C(51), C(22) и C(52) отклоняются от плоскости из четырех атомов карбоцикла на $0,478(6)$, $0,698(7)$ Å и $0,461(7)$, $0,663(7)$ Å. В II те же атомы С отклоняются на $0,470(8)$, $0,661(8)$ Å и $0,462(8)$, $0,643(7)$ Å. Диметилциклопропановые фрагменты примыкают к шестичленным карбоциклам общими ребрами C(11)—C(61) и C(12)—C(62), углы при этом составляют $140,8$ и $139,5^\circ$ в I, $139,5$ и $138,2^\circ$ в II. В структурах I и II имеются сравнительно короткие расстояния между атомами О оксимных групп и атомами Cl (O—H···Cl $3,013$ и $3,035$ Å в I и $3,079$, $3,025$ Å в II) при сумме ван-дер-ваальсовых радиусов Cl и O, равной $3,30$ Å [15]. Однако угол при атоме H (O(2)H(20)Cl(3)), равный 105° в I, а также большие величины отклонений атомов от среднеквадратичных плоскостей в II, равные $0,116$ Å, не позволяют сделать вывод о наличии внутримолекулярных контактов O—H···Cl. В структурах I и II в мостиках $(\text{CH}_2)_3$ угол при атоме C(2) составляет $115,6^\circ$ в I и $113,9^\circ$ в II.

Взаимное расположение молекул $[\text{Pd}_2(\text{H}_2\text{L}^1)\text{Cl}_4]$ в кристаллах I и II представлено на рис. 2 и 3 в проекции на плоскость (100). Кратчайший контакт C...Cl между соседними молекулами в I равен $3,885$ Å при сумме ван-дер-ваальсовых радиусов Cl и C $3,5$ Å [15]. В процессе роста кристаллов соединения II при упаковке молекул комплекса I образуются полости, в которых размещаются разупорядоченные молекулы CH_2Cl_2 в общих позициях. В структуре II ближайший контакт атомов Cl молекул CH_2Cl_2 с атомами С метильных групп комплекса составляет

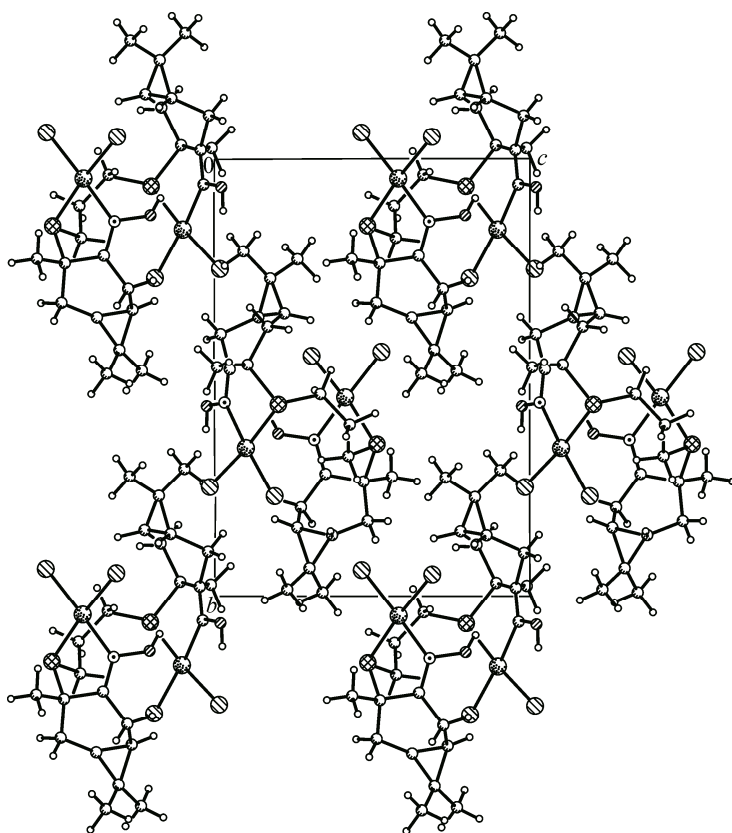


Рис. 2. Проекция кристаллической структуры $\text{Pd}_2(\text{H}_2\text{L}^1)\text{Cl}_4$ соединения I на плоскость (100)

3,634 Å. Следовательно, соединение II можно считать сольватом. Сопоставление взаимного пространственного расположения двухъядерных молекул комплекса в структурах I и II показало, что между молекулами нет прочных H-связей.

Строение хелатных циклов PdC_2NS и шестичленных карбоциклов в I и сольвате II практически одинаковое. В то же время имеются значительные различия в расположении двух металло-посодержащих фрагментов в соединениях I и II. Так, если в молекуле комплекса I расстояние $\text{Pd}\dots\text{Pd}$ равно 5,068 Å, то в сольвате II это расстояние заметно больше (5,236 Å). В I угол между двумя плоскостями Cl_2NS координационных узлов составляет всего 7,7(1)°, т.е. плоскости практически параллельны. В сольвате II аналогичный угол равен 22,0(1)°. По-видимому, эти отличия связаны с присутствием молекул CH_2Cl_2 в структуре II и приводят к увеличению объема элементарной ячейки соединения II на 162 Å³ (см. табл. 1) по сравнению с I.

В сольвате III угол между плоскостями координационных узлов комплекса $[\text{Pd}(\text{H}_2\text{L})\text{Cl}_4]$, равный 107°, значительно больше, чем в I и II. Это свидетельствует о вращении двух металло-посодержащих фрагментов в молекуле комплекса вокруг связи C—C в мостике $(\text{CH}_2)_2$ [11], что можно связать со стерическим отталкиванием этих фрагментов. В связи с этим в III расстояние $\text{Pd}\dots\text{Pd}$ также значительно больше (6,259 Å), чем в I и II, имеющих мостик $(\text{CH}_2)_3$ [11]. Таким образом, увеличение в H_2L^1 длины углеводородного мостика, соединяющего два атома S в дисульфанилдиоксимах, по сравнению с H_2L , а также наличие молекул растворителя в кристаллических структурах II и III, существенно сказалось на строении двухъядерных молекул комплексов. Следует отметить, что I и II имеют моноклинную симметрию, тогда как III — ромбическую [11].

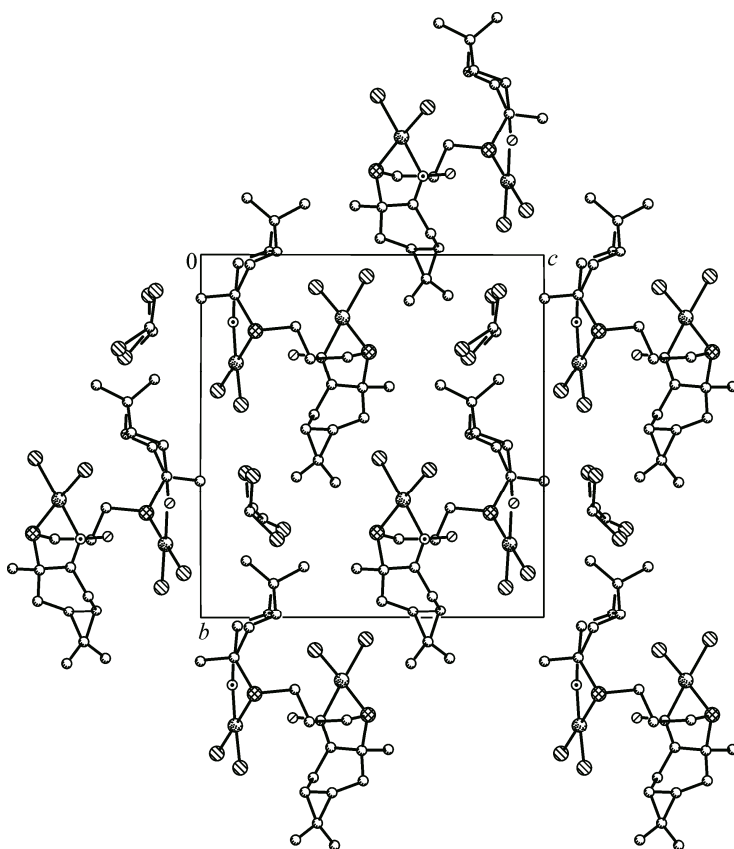


Рис. 3. Проекция кристаллической структуры $\text{Pd}_2(\text{H}_2\text{L}^1)\text{Cl}_4 \cdot 0,5\text{CH}_2\text{Cl}_2$ соединения II на плоскость (100)

Авторы выражают благодарность О.С. Кощеевой и А.П. Зубаревой за проведение С, Н, N, S анализа.

СПИСОК ЛИТЕРАТУРЫ

1. Von Zelewsky A., Mamula O. // J. Chem. Soc., Dalton Trans. – 2000. – N 3. – P. 219.
2. Mamula O., von Zelewsky A. // Coord. Chem. Rev. – 2003. – **242**. – P. 87.
3. Ткачев А.В. // Рос. хим. журн. – 1998. – **42**, № 1-2. – С. 42.
4. Ларионов С.В., Ткачев А.В. // Рос. хим. журн. – 2004. – **48**, № 4. – С. 154.
5. Ларионов С.В. // Координац. химия. – 2012. – **38**, № 1. – С. 3.
6. Пешкова В.М., Савостина В.М., Иванова Е.К. Оксимы. – М.: Наука, 1977.
7. Lumme P., Elo H. // Inorg. Chim. Acta. – 1984. – **92**. – P. 241.
8. Jurisson S., Schlemper E.O., Troutner D.E. et al. // Inorg. Chem. – 1986. – **25**, N 4. – P. 543.
9. Chaudhuri P. // Coord. Chem. Rev. – 2003. – **243**. – P. 143.
10. Кокина Т.Е., Шелудякова Л.А., Ткачев А.В. и др. // Журн. общей химии. – 2011. – **81**, № 8. – С. 1306.
11. Кокина Т.Е., Мячина Л.И., Глинская Л.А. и др. // Координац. химия. – 2008. – **34**, № 2. – С. 120.
12. Ларионов С.В., Кокина Т.Е., Агафонцев А.М. и др. // Координац. химия. – 2007. – **33**, № 7. – С. 525.
13. Горшков Н.Б., Агафонцев А.М., Ткачев А.В. // Изв. АН. Сер. хим. – 2010. – № 7. – С. 1434.
14. Sheldrick G.M. // Acta Crystallogr. A. – 2008. – **64**, N 1. – P. 112.
15. Савельева З.А., Клевцова Р.Ф., Глинская Л.А. и др. // Координац. химия. – 2009. – **35**, № 2. – С. 130.
16. Бацанов С.С. // Журн. неорган. химии. – 1991. – **36**, № 12. – С. 3015.